

L'anno 2021 è comune (Febbraio ha 28 giorni). Secondo gli Astrologi, l'anno 2021 fa parte del ciclo di Saturno (2017-2052) ed è posto sotto il dominio di Venere. (L'anno astrologico inizia il 21 Marzo). Nel Calendario Cinese questo è l'anno del Bue e del Metallo. L'anno 2021 corrisponde al:

| | | | |
|-----------|--|-----------|--|
| 9005 | : dalla CREAZIONE secondo Regiomontano (Tavole Alfonsine) | 2305/2306 | : dell'ERA DI TOLOMEO FILADELFO o DI DIONIGI (21 Giu) |
| 8102 | : dalla CREAZIONE, secondo Diodoro Sicolo | 2223 | : dalla DISTRUZIONE DI CARTAGINE |
| 8021 | : dalla CREAZIONE, secondo Suida | 2146/2147 | : dell'ERA DI TIRO (Fenicia - Inizio 19 Ottobre) |
| 7529 | : della CREAZIONE, secondo l'Era Costantinopolitana | 2078 | : dell'ERA DI VIKRAMADITYA (India) |
| 7523/7524 | : della CREAZIONE, secondo l'Era di Alessandria (11 Sett.) | 2069/2070 | : dell'ERA DI ANTIOCHIA (Inizio 1° Luglio) |
| 7513/7514 | : dalla CREAZIONE, secondo Panodoro (11 Settembre) | 2066 | : dell'ERA DI CESARE (Inizio 1° Gennaio) |
| 7291 | : dalla CREAZIONE, secondo i Settanta | 2059 | : dell'ERA DI SPAGNA (Inizio 1° Gennaio) |
| 7221 | : dalla CREAZIONE, secondo Eusebio di Cesarea | 2052/2053 | : dell'ERA DI AZIO o DEGLI AUGUSTI (Inizio 11 Settembre) |
| 7025 | : dell'ERA DI MENES, secondo Auguste Mariette | 2026/2027 | : dalla NASCITA DI GESU' (17 Novembre 6 a.C.) |
| 6851 | : dalla CREAZIONE, secondo Origene | 2024 | : delle INDIZIONI ROMANE (14° della 114°) |
| 6734 | : del PERIODO GIULIANO | 2013/2014 | : dei COPTI (inizia 11 Settembre - 142° del 4° Periodo) |
| 6719 | : dalla CREAZIONE, secondo Giuseppe Flavio | 2007 | : dalla MORTE DI AUGUSTO |
| 6718 | : dalla CREAZIONE, secondo Cassiodoro | 1991 | : dalla CROCFISSIONE DI GESU' (07 Aprile 30) |
| 6326 | : dalla CREAZIONE, secondo il Testa Samaritano | 1911/1912 | : dell'ERA DI SALIBAHAN (21 Marzo) |
| 6205 | : dalla CREAZIONE, secondo la Vulgata | 1737/1738 | : dell'ERA DEI MARTIRI o DIOCLEZIANA (Inizio 11 Settembre) |
| 6025 | : dalla CREAZIONE, secondo Ussèrio (Ussher) | 1710/1711 | : dell'ERA DI COSTANTINO (Inizio 1° Settembre) |
| 6005 | : dalla CREAZIONE, secondo Petàv (Petavio) | 1545 | : dell'ERA DI AUGUSTOLO (Fine Impero Romano d'Occid.) |
| 5971 | : dalla CREAZIONE, secondo Scalligero | 1472/1473 | : dell'EGIRA MAOMETTANA (Inizio il 10 Agosto) |
| 5913 | : dell'ERA DI MENES, secondo Lepsius | 1442/1443 | : dell'ERA DEI PERSIANI detta IEZDEGIRDICA (28 Luglio) |
| 5781/5782 | : dalla CREAZIONE, secondo gli Ebrei (Inizio 7 Settembre) | 1390/1391 | : dell'INCORONAZIONE DI CARLO MAGNO (25-XI-800) |
| 5637 | : dalla CREAZIONE, secondo Lippomane | 1221 | : dall'INCORONAZIONE DI CARLO MAGNO (25-XI-800) |
| 5267 | : dal DILUVIO UNIVERSALE, secondo i Settanta | 1017 | : dell'ERA DEL MARTIROLOGIO ARMENO (Inizio 24 Agosto) |
| 5167 | : dal DILUVIO UNIVERSALE, secondo Giuseppe Flavio | 941/942 | : dell'ERA GILALEA (27 Marzo) |
| 5123 | : del KALI YUGA (1943° del 3° periodo di 18.000 anni) | 926 | : dalla 1° CROCIATA (1° Agosto 1095) |
| 5019 | : dal DILUVIO UNIVERSALE, secondo i Samaritani | 568 | : dalla CADUTA DI COSTANTINOPOLI (29-V-1453) |
| 4805/4806 | : del PERIODO DI SOTHIS (Egitto - Inizio 18 IV - Anno 426- IV Periodo) | 529 | : dalla SCOPERTA DELL'AMERICA (12-X-1492) |
| 4717/4718 | : dell'ERA DI HOHANG-TI (Cina - Inizio 12 Febbraio) | 465/466 | : dell'ERA DI TARIK ILAHI (21 Marzo) |
| 4369 | : dal DILUVIO UNIVERSALE, secondo Ussèrio (Ussher) | 439 | : dalla RIFORMA GREGORIANA DEL CALENDARIO (04-X-1582) |
| 4350 | : dal DILUVIO UNIVERSALE, secondo Petàv (Petavio) | 232 | : dalla RIVOLUZIONE FRANCESE (14-VII-1789) |
| 4309 | : dal DILUVIO UNIVERSALE, secondo gli Ebrei | 200 | : dalla MORTE DI NAPOLEONE (05-V-1821) |
| 4125 | : dal DILUVIO UNIVERSALE, secondo la Vulgata | 160 | : dalla PROCLAMAZIONE DEL REGNO D'ITALIA (17-III-1861) |
| 3579 | : dell'ERA DEI CECROPI (Grecia) | 107 | : dell'ERA DEI CECROPI (Grecia) |
| 3204 | : dalla DISTRUZIONE DI TROIA, secondo Ussèrio (Ussher) | 82 | : dallo SCOPPIO DELLA 2° GUERRA MONDIALE (03-IX-1939) |
| 2796/2797 | : delle OLIMPIADI (1° della 700° - Inizio 10 Luglio) | 76 | : dall'ESPLOSIONE DELLA 1° BOMBA ATOMICA (06-VII-1945) |
| 2773/2774 | : dalla FONDAZIONE DI ROMA, secondo Varrone (21 IV) | 75 | : dalla PROCLAMAZIONE DELLA REPUBBLICA (02-VI-1946) |
| 2769/2770 | : dell'ERA DI NABONASSAR (Inizio 18 IV - Anno Vago) | 64 | : dal LANCIO DEL 1° SATELLITE ARTIFICIALE (04-X-1957) |
| 2530 | : dei FASTI CONSOLARI (Inizio 1° Gennaio) | 60 | : dal VOLO DEL 1° UOMO NELLO SPAZIO (12-IV-1961) |
| 2345/2346 | : dell'ERA DI ALESSANDRO MAGNO e LAGIDI (Inizio 18 Apr) | 52 | : dal 1° PRESUNTO SBARCO UMANO SULLA LUNA (21-VII-1969) |
| 2332/2333 | : dell'ERA DEI SELEUCIDI o MACCABEI (Inizio 14 Ottobre.) | 20 | : dal CROLLO DELLE TORRI GEMELLE DI NEW YORK (11-IX-2001) |

ELEMENTI DEL COMPUTO ECCLESIASTICO DELL'ANNO 2021

| | | | |
|--------------|-------|--------------------------|-----------------|
| NUMERO D'ORO | : 8 | LETTERA DOMENICALE | : C |
| E P A T T A | : XVI | INDIZIONE ROMANA | : 14 |
| CICLO SOLARE | : 14 | LETTERA DEL MARTIROLOGIO | : r (minuscola) |

FASI LUNARI ECCLESIASTICHE DELL'ANNO 2021

| | | | | | | | | | | | | |
|------|------|------|------|------|------|------|------|-----|------|------|------|------|
| U.Q. | 6 | 5 | 6 | 5 | 4 | 3 | 2 | 1 | **** | **** | **** | **** |
| L.N. | 15 | 13 | 15 | 13 | 13 | 11 | 11 | 9 | 8 | 7 | 6 | 5 |
| P.Q. | 21 | 19 | 21 | 19 | 19 | 17 | 17 | 15 | 14 | 13 | 12 | 11 |
| L.P. | 28 | 26 | 28 | 26 | 26 | 24 | 24 | 22 | 21 | 20 | 19 | 18 |
| U.Q. | **** | **** | **** | **** | **** | **** | **** | 30 | 29 | 28 | 27 | 26 |
| | GEN | FEB | MAR | APR | MAG | GIU | LUG | AGO | SET | OTT | NOV | DIC |

SULLA PASQUA IN GENERALE E SULLA PASQUA DELL'ANNO 2021 IN PARTICOLARE

Il Concilio di Nicea in Bitinia, tenutosi nell'anno 325 dopo Cristo, stabilì che la Pasqua Cristiana dovesse essere sempre celebrata la PRIMA DOMENICA SEGUENTE al PRIMO Plenilunio coincidente con l'Equinozio di Primavera o ad esso immediatamente successivo (... *ut post decimamquartam lunam primi mensis, in ipsum aequinoctium vernum INCIDENTEM, vel ipsum proxime SEQUENTEM, PRIMA dominica omnes ubique terrarum Christiani una eodemque die, Pascha celebrarent...*). I Padri Conciliari, però, non stabilirono allora la data esatta dell'Equinozio, la quale venne fissata definitivamente al 21 MARZO solo nell'anno 343. Secondo questa regola, quindi, la Pasqua può oscillare fra le due date estreme del 22 MARZO e del 25 APRILE. Per quanto riguarda le Fasi Lunari, nel computo della Pasqua, la Chiesa cattolica adotta un proprio calcolo, dipendente dall'Epatta, nel quale le Fasi sono molto più semplificate rispetto a quelle astronomiche, ma nel quale i Pleniluni possono avvenire anche 1 o 2 giorni prima o dopo quelli veri (vedi tavola sopra).

IN CONFORMITÀ CON TALI REGOLE L'ANNO 2021 CI RECA LA PASQUA AL 4 APRILE. (PLENILUNIO ECCLESIASTICO PASQUALE IL 28 MARZO, CHE È UNA DOMENICA E CHE NON VA CONSIDERATA QUANDO COINCIDE CON LA LUNA PIENA. LA DOMENICA SUCCESSIVA È IL 4 APRILE).

La Pasqua al 4 Aprile è MEDIA, secondo il seguente schema:

| | |
|----------------------------|---------------------|
| 22 MARZO | : PASQUA BASSISSIMA |
| dal 23 MARZO al 02 APRILE | : PASQUA BASSA |
| dal 03 APRILE al 13 APRILE | : PASQUA MEDIA |
| dal 14 APRILE al 24 APRILE | : PASQUA ALTA |
| 25 APRILE | : PASQUA ALTISSIMA |

Negli ultimi 500 anni la Pasqua è stata celebrata in questo stesso giorno (4 Aprile) negli anni: 1627, 1638, 1649, 1706, 1779, 1790, 1947, 1858, 1915, 1920*, 1926, 1999 e 2010.

Nei prossimi 500 anni la Pasqua sarà celebrata in questo stesso giorno negli anni: 2083, 2094, 2151, 2162, 2173, 2219, 2230, 2241, 2371, 2382, 2393, 2455, 2466, 2477 e 2488*.
(Gli anni marcati con l'asterisco, sono anni bisestili)

LE QUATTRO TEMPORA DELL'ANNO 2021

| | | |
|---------------------|----------------------------------|------------------------|
| TEMPORA D'PRIMAVERA | (<i>R e m i n i s c e r e</i>) | 24 - 26 - 27 FEBBRAIO |
| TEMPORA D'ESTATE | (<i>T r i n i t a t i s</i>) | 26 - 28 - 29 MAGGIO |
| TEMPORA D'AUTUNNO | (<i>C r u c i f i s</i>) | 15 - 17 - 18 SETTEMBRE |
| TEMPORA D'INVERNO | (<i>L u c i a e</i>) | 15 - 17 - 18 DICEMBRE |

PRINCIPIO ASTRONOMICICO DELLE STAGIONI NELL'ANNO 2021

| | | | | |
|-----------|-------------|--------------|----------------|--------------------------|
| PRIMAVERA | (Equinozio) | 20 MARZO | h.10 m.37 s.29 | Durata: 92gg 17h 54m 40s |
| ESTATE | (Solstizio) | 21 GIUGNO | h.04 m.32 s.09 | Durata: 93gg 15h 48m 55s |
| AUTUNNO | (Equinozio) | 22 SETTEMBRE | h.20 m.21 s.04 | Durata: 89gg 20h 38m 16s |
| INVERNO | (Solstizio) | 21 DICEMBRE | h.16 m.59 s.20 | Durata: 88gg 23h 34m 03s |

TABELLA ANNUALE DELLE CELEBRAZIONI MOBILI PER 15 ANNI (DAL 2014 AL 2028)

| ANNO | SETTUAG/CARNI | CENERI | PASQUA | ASCENS. | PENTEC. | C.DOMINI | 1° AVV. | SETTIMANE DEL TEMPO ORDINARIO | | | |
|--------|---------------|--------|--------|---------|---------|----------|---------|-------------------------------|------------------------|--------|----|
| | | | | | | | | Prima della Quaresima | Dopo il Tempo Pasquale | | |
| 2014 | 16 FEB | 05 MAR | 20 APR | 01 GIU | 08 GIU | 22 GIU | 30 NOV | 02 MAR | 8 | 08 GIU | 10 |
| 2015 | 01 FEB | 18 FEB | 05 APR | 17 MAG | 24 MAG | 07 GIU | 29 NOV | 15 FEB | 6 | 24 MAG | 8 |
| 2016/B | 24 GEN | 10 FEB | 27 MAR | 08 MAG | 15 MAG | 29 MAG | 27 NOV | 07 FEB | 5 | 15 MAG | 7 |
| 2017 | 12 FEB | 01 MAR | 16 APR | 28 MAG | 04 GIU | 18 GIU | 03 DIC | 26 FEB | 8 | 04 GIU | 9 |
| 2018 | 28 GEN | 14 FEB | 01 APR | 13 MAG | 20 MAG | 03 GIU | 02 DIC | 11 FEB | 6 | 20 MAG | 7 |
| 2019 | 17 FEB | 06 MAR | 21 APR | 02 GIU | 09 GIU | 23 GIU | 01 DIC | 03 MAR | 8 | 09 GIU | 10 |
| 2020/B | 09 FEB | 26 FEB | 12 APR | 24 MAG | 31 MAG | 14 GIU | 29 NOV | 23 FEB | 7 | 31 MAG | 9 |
| 2021 | 31 GEN | 17 FEB | 04 APR | 16 MAG | 23 MAG | 06 GIU | 28 NOV | 14 FEB | 6 | 23 MAG | 8 |
| 2022 | 13 FEBB | 02 MAR | 17 APR | 29 MAG | 05 GIU | 19 GIU | 27 NOV | 27 FEB | 8 | 05 GIU | 10 |
| 2023 | 05 FEB | 22 FEB | 09 APR | 21 MAG | 28 MAG | 11 GIU | 03 DIC | 19 FEB | 7 | 28 MAG | 8 |
| 2024/B | 28 GEN | 14 FEB | 31 MAR | 12 MAG | 19 MAG | 02 GIU | 01 DIC | 11 FEB | 6 | 19 MAG | 7 |
| 2025 | 16 FEB | 05 MAR | 20 APR | 01 GIU | 08 GIU | 22 GIU | 30 NOV | 02 MAR | 8 | 08 GIU | 10 |
| 2026 | 01 FEB | 18 FEB | 05 APR | 17 MAG | 24 MAG | 07 GIU | 29 NOV | 15 FEB | 6 | 24 MAG | 8 |
| 2027 | 24 GEN | 10 FEB | 28 MAR | 09 MAG | 16 MAG | 30 MAG | 28 NOV | 07 FEB | 5 | 16 MAG | 7 |
| 2028/B | 13 FEB | 01 MAR | 16 APR | 28 MAG | 04 GIU | 18 GIU | 03 DIC | 27 FEB | 8 | 04 GIU | 9 |

| | | | | | |
|------|------|------|------|------|------|
| 01 S | 01 M | 01 M | 01 V | 01 D | 01 M |
| 02 D | 02 M | 02 M | 02 S | 02 L | 02 G |
| 03 L | 03 G | 03 G | 03 D | 03 M | 03 V |
| 04 M | 04 V | 04 V | 04 L | 04 M | 04 S |
| 05 M | 05 S | 05 S | 05 M | 05 G | 05 D |
| 06 G | 06 D | 06 D | 06 M | 06 V | 06 L |
| 07 V | 07 L | 07 L | 07 G | 07 S | 07 M |
| 08 S | 08 M | 08 M | 08 V | 08 D | 08 M |
| 09 D | 09 M | 09 M | 09 S | 09 L | 09 G |
| 10 L | 10 G | 10 G | 10 D | 10 M | 10 V |
| 11 M | 11 V | 11 V | 11 L | 11 M | 11 S |
| 12 M | 12 S | 12 S | 12 M | 12 G | 12 D |
| 13 G | 13 D | 13 D | 13 M | 13 V | 13 L |
| 14 V | 14 L | 14 L | 14 G | 14 S | 14 M |
| 15 S | 15 M | 15 M | 15 V | 15 D | 15 M |
| 16 D | 16 M | 16 M | 16 S | 16 L | 16 G |
| 17 L | 17 G | 17 G | 17 D | 17 M | 17 V |
| 18 M | 18 V | 18 V | 18 L | 18 M | 18 S |
| 19 M | 19 S | 19 S | 19 M | 19 G | 19 D |
| 20 G | 20 D | 20 D | 20 M | 20 V | 20 L |
| 21 V | 21 L | 21 L | 21 G | 21 S | 21 M |
| 22 S | 22 M | 22 M | 22 V | 22 D | 22 M |
| 23 D | 23 M | 23 M | 23 S | 23 L | 23 G |
| 24 L | 24 G | 24 G | 24 D | 24 M | 24 V |
| 25 M | 25 V | 25 V | 25 L | 25 M | 25 S |
| 26 M | 26 S | 26 S | 26 M | 26 G | 26 D |
| 27 G | 27 D | 27 D | 27 M | 27 V | 27 L |
| 28 V | 28 L | 28 L | 28 G | 28 S | 28 M |
| 29 S | 29 M | 29 M | 29 V | 29 D | 29 M |
| 30 D | 30 M | 30 M | 30 S | 30 L | 30 G |
| 31 L | 31 G | 31 G | 31 S | 31 M | 31 V |

| | | | | | |
|------|------|-------|------|------|------|
| 01 V | 01 L | 01 G | 01 S | 01 M | 01 G |
| 02 S | 02 M | 02 V | 02 D | 02 M | 02 V |
| 03 D | 03 M | 03 S | 03 L | 03 G | 03 S |
| 04 L | 04 G | 04 D | 04 M | 04 V | 04 D |
| 05 M | 05 V | 05 L | 05 M | 05 S | 05 L |
| 06 M | 06 S | 06 M | 06 G | 06 D | 06 M |
| 07 G | 07 D | 07 M | 07 V | 07 L | 07 M |
| 08 V | 08 L | 08 G | 08 S | 08 M | 08 G |
| 09 S | 09 M | 09 V | 09 D | 09 M | 09 V |
| 10 D | 10 M | 10 S | 10 L | 10 G | 10 S |
| 11 L | 11 G | 11 D | 11 M | 11 V | 11 D |
| 12 M | 12 V | 12 L | 12 M | 12 S | 12 L |
| 13 M | 13 S | 13 M | 13 G | 13 D | 13 M |
| 14 G | 14 D | 14 M | 14 V | 14 L | 14 M |
| 15 V | 15 L | 15 G | 15 S | 15 M | 15 G |
| 16 S | 16 M | 16 VC | 16 D | 16 M | 16 V |
| 17 D | 17 M | 17 S | 17 L | 17 G | 17 S |
| 18 L | 18 G | 18 D | 18 M | 18 V | 18 D |
| 19 M | 19 V | 19 L | 19 M | 19 S | 19 L |
| 20 M | 20 S | 20 M | 20 G | 20 D | 20 M |
| 21 G | 21 D | 21 M | 21 V | 21 L | 21 M |
| 22 V | 22 L | 22 G | 22 S | 22 M | 22 G |
| 23 S | 23 M | 23 V | 23 D | 23 M | 23 V |
| 24 D | 24 M | 24 S | 24 L | 24 G | 24 S |
| 25 L | 25 G | 25 D | 25 M | 25 V | 25 D |
| 26 M | 26 V | 26 L | 26 M | 26 S | 26 L |
| 27 M | 27 S | 27 M | 27 G | 27 D | 27 M |
| 28 G | 28 D | 28 M | 28 V | 28 L | 28 M |
| 29 V | 29 L | 29 G | 29 S | 29 M | 29 G |
| 30 S | 30 M | 30 V | 30 D | 30 M | 30 V |
| 31 D | 31 M | 31 L | 31 L | 31 M | 31 S |

PRINCIPALI FESTIVITA' DELL'ANNO 2022

| | | | |
|--------------------------|---------------|-----------------------|---------------|
| SETTUAGESIMA | : 13 FEBBRAIO | ASCENSIONE | : 29 MAGGIO |
| LE SACRE CENERI | : 2 MARZO | PENTECOSTE | : 5 GIUGNO |
| 1° DOMENICA DI QUARESIMA | : 6 MARZO | CORPUS DOMINI | : 19 GIUGNO |
| P A S Q U A | : 17 APRILE | 1° DOMENICA D'AVVENTO | : 27 NOVEMBRE |

ECLISSI DELL'ANNO 2021

Nel corso dell'anno 2021 si verificheranno 4 eclissi: 2 di Sole e 2 di Luna. Solo la prima eclissi solare sarà visibile, come una leggera eclissi parziale, nell'Italia centro-settentrionale.

1.a - ECLISSI TOTALE DI LUNA DEL 26 MAGGIO 2021 (55° del Saros n°121 che comprende 82 eclissi lunari)

INVISIBILE IN EUROPA. Questo fenomeno sarà osservabile, nel suo intero svolgimento, in tutto l'Oceano Pacifico, in Nuova Zelanda, nella parte orientale dell'Australia e nell'Antartide. La Luna sorge nel corso dell'eclissi nell'Australia occidentale, in Indonesia, in Giappone e nell'Asia orientale. La Luna tramonta nel corso dell'eclissi nelle tre Americhe. La Luna si trova nella costellazione dello Scorpione, circa 6,5° in alto a destra della stella Antares.

Il fenomeno avrà il seguente percorso (le coordinate altazimutali sono date per l'orizzonte della Toscana settentrionale):

| FASI E DATI DELL'ECLISSI | ANGOLI | | | | DURATA E MAGNITUDINI |
|----------------------------|--------|-------------|---------|--------|-------------------------|
| | P | Q | Zm | H | |
| INGRESSO NELLA PENOMBRA | 26 | h.09 m.47,6 | 123,90° | 42,64° | 81,25° -52,86° 298,18° |
| INGRESSO NELL'OMBRA | 26 | h.10 m.45,0 | 133,54° | 31,77° | 101,77° -60,88° 316,82° |
| INIZIO DELL'ECLISSI TOTALE | 26 | h.12 m.11,2 | 07,17° | 00,27° | 06,90° -66,83° 359,65° |
| FINE MASSIMA | 26 | h.12 m.18,7 | 15,84° | 03,02° | 12,82° -66,82° 03,93° |
| ASCITA DELL'ECLISSI TOTALE | 26 | h.12 m.26,2 | 24, | | |

ovest del piccolo villaggio di Savissvik (3minuti e 44 secondi di eclissi anulare), investendo poi il villaggio di Qeqertat dove, con il Sole alto 23° sopra l'orizzonte, l'eclissi anulare vi durerà 3 minuti e 43 secondi. Poco dopo, giusto fra la Groenlandia e l'Isola di Ellesmere, viene raggiunto il punto della fase massima di questa eclissi, con la durata dell'anularità di 3 minuti e 51 secondi. Ora l'ombra della Luna si immerge in pieno Oceano Glaciale Artico e - precisamente alle ore 12,00 - sorvolerà il Polo Nord (una particolarità molto rara, infatti la prossima eclissi solare che attraverserà un Polo, sarà quella totale del 16 Gennaio 2094, al Polo Sud). Proseguendo verso est, l'antiombra lunare percorre ora parte dell'Oceano Artico e, finalmente, tocca di nuovo terra nella Siberia del nord, presso il mare di Leptev, dove l'eclissi anulare vi durerà 3 minuti e 36 secondi, con il Sole alto circa 12°. Più avanti, il villaggio di Russoye Ustye vedrà 3 minuti e 34 secondi di eclissi anulare (Sole alto 8° sopra l'orizzonte). Finalmente, dopo un tragitto di oltre 14.000 km di lunghezza, l'ombra della Luna abbandona la superficie terrestre - al tramonto del Sole - circa 250 km a nord del Mare di Okhotsk. Come eclissi parziale questo evento sarà visibile nella Zona Artica, in Groenlandia, nella parte settentrionale del Nord-America, nell'Oceano Atlantico settentrionale, nella maggior parte dell'Europa e nell'Asia settentrionale. In Italia si potrà osservare una leggerissima eclissi parziale, ma solo nel centro e nel nord del paese. La tabella sottostante mostra orari e fasi per le principali città che saranno interessate dal fenomeno.

Per la Terra in generale, l'eclissi avrà il seguente svolgimento:

| FASI E DATI DELL'ECLISSI | DATA | ORA T.M.E.C. | LONGITUDINE | LATITUDINE | LARGHEZZA | DURATA | h. SOLE |
|---|------|--------------|---------------|-------------|-----------|---------|---------|
| INIZIO DELL'ECLISSI PARZIALE (Cono di penombra della Luna tangente alla Terra): | 10 | 09:12:21 | 43° 56' 31" | 23° 38' 35" | KM | mm:ss,d | ° |
| INIZIO DELL'ECLISSI CENTRALE (Cono d'ombra della Luna tangente alla Terra): | 10 | 10:49:48 | 86° 09' 01" | 48° 21' 24" | | | |
| INIZIO DELL'ECLISSI CENTRALE (Asse dell'ombra della Luna tangente alla Terra): | 10 | 10:54:59 | 89° 31' 44" | 50° 10' 12" | 692,45 | 03:36,9 | 0,00 |
| FASE MASSIMA: | 10 | 11:41:57 | 66° 46' 19" | 80° 48' 53" | 523,28 | 03:51,3 | 23,34 |
| FASE MASSIMA A MEZZANOTTE LOCALE: | 10 | 12:01:04 | 165° 23' 39" | 88° 08' 09" | 531,42 | 03:49,8 | 24,91 |
| FINE DELL'ECLISSI CENTRALE (Asse dell'ombra della Luna tangente alla Terra): | 10 | 12:28:42 | -156° 33' 35" | 63° 34' 23" | 692,64 | 03:36,0 | 0,00 |
| FINE DELL'ECLISSI CENTRALE (Cono d'ombra della Luna tangente alla Terra): | 10 | 12:33:51 | -150° 58' 57" | 62° 26' 01" | | | |
| FINE DELL'ECLISSI PARZIALE (Cono di Penombra della Luna tangente alla Terra): | 10 | 14:11:22 | -94° 06' 44" | 41° 27' 25" | | | |



Le eclissi solari del Saros 147 avvengono tutte al nodo ascendente e la Luna si muove verso sud ad ogni eclissi successiva. Il Saros 147 è iniziato con l'eclissi parziale del 12 Ottobre 1624 (nell'emisfero nord della Terra) e terminerà con l'eclissi parziale del 24 Febbraio 3049 (nell'emisfero sud della Terra) e, quindi, avrà una durata di 1424,38 anni. Nel corso del Saros 147 si verificheranno 80 eclissi solari, di cui 40 parziali e 40 anulari, delle quali una avrà un solo limite. Nessuna totale o ibrida. (in questa sequenza: 21 parziali, 40 anulari e 19 parziali). L'eclissi anulare più lunga accadrà il 21 Novembre 2291 (Durata 9 min 41 sec). L'eclissi anulare più breve accadrà il 19 Luglio 2688 (Durata 41 sec). L'eclissi parziale più ampia avverrà l'11 Agosto 2724 (Magnitudine 0,87969). L'eclissi parziale più piccola si è verificata il 12 Ottobre 1624 (Magnitudine 0,00894).

NELLA TABELLA SEGUENTE SONO INDICATE LE FASI E GLI ORARI PER LE PRINCIPALI LOCALITÀ ITALIANE (DOVE L'ECLISSI È VISIBILE)

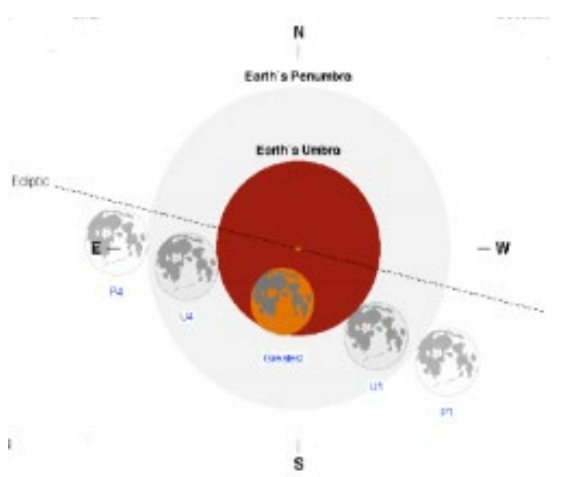
| LOCALITÀ | 1°CONT | | ANG/POS | | ALT/SOLE | | ANG/VER | | FASE MAX | | ALT/SOLE | | ANG/VER | | MAGNIT | 4° CONT | | ANG/POS | | ALT/SOLE | | ANG/VER | | | |
|-------------|------------|------------|------------|------------|------------|------------|------------|------------|------------|------------|------------|------------|---------|-------|--------|---------|---|---------|---|----------|---|---------|---|---|--|
| | h:m:s | ° | ° | ° | h:m:s | ° | ° | ° | % | h:m:s | ° | ° | ° | h:m:s | | ° | ° | ° | ° | ° | ° | ° | ° | ° | |
| AOSTA | 10:28:27 | -48.42 | 56.51 | -8.56 | 11:15:06 | 62.67 | 10.42 | 0.121 | 12:04:12 | 10.84 | 66.70 | 22.38 | | | | | | | | | | | | | |
| TORINO | 10:31:10 | -46.06 | 57.49 | -5.90 | 11:14:33 | 63.28 | 10.98 | 0.101 | 12:00:04 | 8.20 | 67.21 | 21.36 | | | | | | | | | | | | | |
| MILANO | 10:35:36 | -45.14 | 58.78 | -7.59 | 11:18:39 | 64.07 | 7.71 | 0.097 | 12:03:35 | 8.17 | 67.24 | 16.87 | | | | | | | | | | | | | |
| TRENTO | 10:40:56 | -44.39 | 60.14 | -10.60 | 11:24:09 | 64.78 | 3.08 | 0.096 | 12:09:02 | 8.69 | 66.94 | 11.34 | | | | | | | | | | | | | |
| BOLZANO | 10:40:30 | -45.42 | 59.91 | -12.38 | 11:25:26 | 64.58 | 2.00 | 0.105 | 12:12:07 | 10.10 | 66.54 | 10.94 | | | | | | | | | | | | | |
| VENEZIA | 10:48:02 | -40.46 | 62.08 | -8.76 | 11:25:56 | 65.87 | 1.43 | 0.070 | 12:05:01 | 4.99 | 67.58 | 7.35 | | | | | | | | | | | | | |
| TRIESTE | 10:53:04 | -39.11 | 63.16 | -10.79 | 11:29:48 | 66.33 | -2.12 | 0.065 | 12:07:31 | 4.55 | 67.39 | 3.16 | | | | | | | | | | | | | |
| GENOVA | 10:37:53 | -42.11 | 59.57 | -3.15 | 11:16:00 | 64.51 | 10.01 | 0.074 | 11:55:40 | 4.35 | 67.86 | 17.77 | | | | | | | | | | | | | |
| BOLOGNA | 10:48:10 | -38.30 | 62.26 | -4.16 | 11:21:51 | 66.02 | 5.05 | 0.055 | 11:56:34 | 1.74 | 68.25 | 10.19 | | | | | | | | | | | | | |
| FIRENZE | 10:52:12 | -34.96 | 63.25 | -0.64 | 11:20:14 | 66.47 | 6.55 | 0.037 | 11:48:57 | -2.13 | 68.63 | 10.60 | | | | | | | | | | | | | |
| PRATO | 10:50:32 | -35.93 | 62.86 | -1.18 | 11:20:05 | 66.29 | 6.66 | 0.041 | 11:50:26 | -1.16 | 68.55 | 11.07 | | | | | | | | | | | | | |
| PERUGIA | 11:06:17 | -27.33 | 66.00 | 2.14 | 11:21:53 | 67.60 | 5.06 | 0.011 | 11:37:37 | -9.58 | 68.84 | 6.94 | | | | | | | | | | | | | |
| ANCONA | 11:07:39 | -28.27 | 66.22 | -1.66 | 11:25:45 | 67.85 | 1.37 | 0.014 | 11:44:01 | -7.67 | 68.95 | 3.17 | | | | | | | | | | | | | |
| ROMA | NO ECLISSI | | | | | | | | | | | | | |
| L'AQUILA | NO ECLISSI | | | | | | | | | | | | | |
| CAMPORBASSO | NO ECLISSI | | | | | | | | | | | | | |
| NAPOLI | NO ECLISSI | | | | | | | | | | | | | |
| POTENZA | NO ECLISSI | | | | | | | | | | | | | |
| REGGIO/CAL | NO ECLISSI | | | | | | | | | | | | | |
| PALERMO | NO ECLISSI | | | | | | | | | | | | | |
| CAGLIARI | NO ECLISSI | | | | | | | | | | | | | |

ANG/POS = ANGOLO DI POSIZIONE (CONTATO IN SENSO ANTIORARIO A PARTIRE DAL PUNTO NORD DEL LEMBO SOLARE)

3.a - ECLISSI PARZIALE DI LUNA DEL 19 NOVEMBRE 2021 (45° del Saros n°126 che comprende 70 eclissi lunari)

INVISIBILE NELLA MAGGIOR PARTE D'ITALIA. Questo fenomeno sarà osservabile, nel suo intero svolgimento, nella Zona Artica, in tutta l'America settentrionale, in Groenlandia, nell'Oceano Pacifico e nella Siberia orientale. La Luna sorge nel corso dell'eclissi nell'Asia centrale e orientale, in Indonesia, in Giappone, in Australia e in Nuova Zelanda. La Luna tramonta nel corso dell'eclissi nell'America centrale e meridionale, in gran parte dell'Oceano Atlantico, nella maggior parte dell'Europa (fra cui l'Italia) e nell'Africa nord-occidentale. La Luna si trova nella costellazione del Toro, circa 6,5° a sud-est delle Pleiadi e 14° a destra della stella Aldebaran. Il fenomeno avrà il seguente percorso (le coordinate altazimutali sono date per l'orizzonte della Toscana settentrionale):

| FASI E DATI DELL'ECLISSI | ANGOLI | | | | | | DURATA E MAGNITUDINI | | | |
|-------------------------------|-----------|-------------|----------------------------|-----------|-----------|----------------------------|----------------------|-------------------------|--------------|-----------|
| | ORARIO | T.M.E.C. | P | Q | Zm | H | Az | | | |
| INGRESSO NELLA PENOMBRA | 19 | h.07 m.02,1 | 54,30° | 43,65° | 10,65° | 01,41° | 294,89° | | | |
| INGRESSO NELL'OMBRA | 19 | h.08 m.18,7 | 43,52° | 36,62° | 6,90° | -09,81° | 308,46° | DURATA ECLISSI GENERALE | 06h.01m.32s. | |
| FASE MASSIMA | 19 | h.10 m.02,9 | 161,03° | 22,33° | 138,70° | -21,46° | 330,13° | DURATA ECLISSI PARZIALE | 03h.28m.21s. | |
| USCITA DALL'OMBRA | 19 | h.11 m.47,0 | 278,56° | 3,33° | 275,23° | -26,58° | 356,05° | MAGNIT. PENOMBRA: | 2,0733 | |
| USCITA DALLA PENOMBRA | 19 | h.13 m.03,7 | 267,77° | 11,45° | 256,33° | -25,13° | 13,63° | MAGNIT. OMBRA: | 0,9746 | |
| RAGGIO DELLA PENOMBRA: 1,829° | | | RAGGIO DELL'OMBRA: 0,6435° | | | RAGGIO DELLA LUNA: 0,2455° | | | | |
| LA LUNA TRAMONTA: | AR: 07,07 | FR: 07,11 | PO: 07,12 | PF: 07,13 | LU: 07,14 | MS: 07,16 | LI: 07,14 | PI: 07,14 | SI: 07,09 | GR: 07,09 |



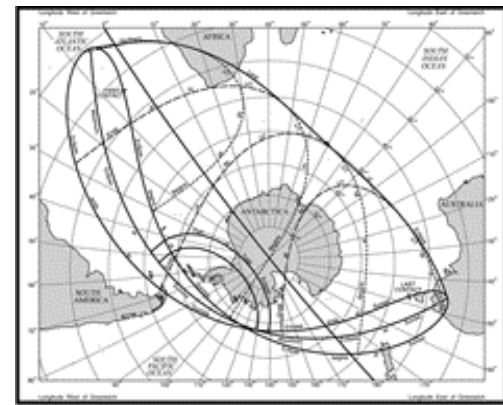
Le eclissi lunari del Saros 126 avvengono tutte al nodo ascendente e la Luna si muove verso sud ad ogni eclissi successiva. Il Saros nr.126 è iniziato con l'eclissi di penombra del 18 Luglio 1228 (al lembo meridionale della Luna) e terminerà con l'eclissi di penombra del 19 Agosto 2472 (al lembo settentrionale della Luna) e, quindi, avrà una durata di 1244,08 anni. Nel corso del Saros nr.126 si verificheranno 70 eclissi lunari, di cui 29 di penombra, 27 parziali e 14 totali (in questa sequenza: 22 di penombra, 8 parziali, 14 totali, 19 parziali e 7 di penombra). L'eclissi totale più lunga e più ampia si è verificata il 13 Agosto 1859 (Durata 1h 46,5 min - Magnitudine 1,8148). L'eclissi totale più piccola e più breve è avvenuta il 9 Novembre 2003 (Magnitudine 1,0178 - Durata 22,0 min). L'eclissi parziale più ampia e più lunga accade il 19 Novembre 2021 (Magnitudine 0,9742 - Durata 3h 28,4 min). L'eclissi parziale più piccola e più breve si verificherà il 5 Giugno 2346 (Magnitudine 0,0209 - Durata 34,4 min). L'eclissi di penombra più ampia e più lunga è accaduta il 13 Marzo 1607 (Magnitudine 1,0510 - Durata 4h 41,6min). L'eclissi di penombra più piccola e più breve è avvenuta il 18 Luglio 1228 (Magnitudine 0,0982 - Durata 1h 27,1 min).

4.a - ECLISSI TOTALE DI SOLE DEL 4 DICEMBRE 2021 (13° del Saros n°152 che comprende 70 eclissi solari)

INVISIBILE IN EUROPA. L'ombra della Luna tocca inizialmente la superficie terrestre al sorgere del Sole, circa 350 km a ovest delle Isole Falkland (o Malvine) nell'Oceano Atlantico meridionale. Le prime terre emerse raggiunte dall'ombra lunare sono le Isole Orcadi meridionali (Coronation Island - un membro di questo arcipelago - si trova quasi al limite occidentale della zona della totalità e sperimenterà 24 secondi di oscurità, mentre l'Isola Laurie, più interna alla fascia della totalità, potrà godere da 57 a 67 secondi di buio, a seconda della zona). Da qui, l'ombra della Luna si dirige verso sud per arrivare, dopo più di 1200 km, alla costa settentrionale dell'Antartide. Ma, 70 km prima di raggiungerla, avviene la fase massima di questa eclissi (1 minuto e 54 secondi). Essa prosegue il suo movimento, attraversando una zona settentrionale del continente ghiacciato, praticamente disabitata. L'unico luogo, all'interno della fascia della totalità, che ospita una presenza umana è il campeggio stagionale della Union Glacier nella Heritage Range, presso l'Elswharth Land. Qui l'eclissi totale dura soltanto 47 secondi, con il Sole alto 14° sopra l'orizzonte (la fase massima avviene alla MEZZANOTTE locale, ma sappiamo che, durante la stagione estiva, ai Poli il Sole non tramonta mai e, quindi, è visibile anche a mezzanotte). Volgendosi ora verso nord, l'ombra della Luna raggiunge nuovamente la costa antartica, presso la Terra di Marie Byrd e, immergendosi nell'Oceano Glaciale Antartico, poco tempo dopo - al tramonto del Sole - abbandona la superficie della Terra.

Come eclissi parziale, questo fenomeno sarà osservabile nell'Oceano Atlantico meridionale, in Sud-Africa, nell'Oceano Indiano meridionale, nell'isola di Tasmania, nel Mar Glaciale Antartico e nell'Antartide.

| FASI E DATI DELL'ECLISSI | DATA | ORA T.M.E.C. | LONGITUDINE | LATITUDINE | LARGHEZZA | DURATA | h. SOLE |
|---|------|--------------|---------------|--------------|-----------|---------|---------|
| INIZIO DELL'ECLISSI PARZIALE (Cono di penombra della Luna tangente alla Terra): | 04 | 06:29:17 | 04° 56' 29" | -23° 19' 16" | KM | mm:ss,d | ° |
| INIZIO DELL'ECLISSI CENTRALE (Cono d'ombra della Luna tangente alla Terra): | 04 | 08:00:07 | 49° 00' 58" | -51° 56' 21" | | | |
| INIZIO DELL'ECLISSI CENTRALE (Asse dell'ombra della Luna tangente alla Terra): | 04 | 08:02:53 | 51° 12' 23" | -53° 04' 59" | 414,15 | 01:28,0 | 0,00 |
| FASE MASSIMA: | 04 | 08:33:28 | 46° 14' 00" | -76° 46' 33" | 415,90 | 01:54,6 | 17,16 |
| FASE MASSIMA A MEZZANOTTE LOCALE: | 04 | 08:56:10 | -58° 30' 20" | -56° 27' 16" | 416,11 | 01:45,0 | 33,29 |
| FINE DELL'ECLISSI CENTRALE (Asse dell'ombra della Luna tangente alla Terra): | 04 | 09:03:48 | 134° 10' 40" | -67° 21' 53" | 417,80 | 01:28,0 | 0,00 |
| FINE DELL'ECLISSI CENTRALE (Cono d'ombra della Luna tangente alla Terra): | 04 | 09:06:34 | 138° 34' 12" | -67° 04' 07" | | | |
| FINE DELL'ECLISSI PARZIALE (Cono di Penombra della Luna tangente alla Terra): | 04 | 10:37:29 | -148° 39' 46" | -46° 23' 37" | | | |



Le eclissi solari del Saros 152 avvengono tutte al nodo discendente e la Luna si muove verso nord ad ogni eclissi successiva. Il Saros 152 è iniziato con l'eclissi parziale del 26 Luglio 1805 (nell'emisfero sud della Terra) e terminerà con l'eclissi parziale del 20 Agosto 3049 (nell'emisfero nord della Terra) e, quindi, avrà una durata di 1244,08 anni. Nel corso del Saros 152 si verificheranno 70 eclissi solari, di cui 15 parziali, 22 anulari, 30 totali e 3 ibride, (in questa sequenza: 9 parziali, 30 totali, 3 ibride, 22 anulari e 6 parziali). Delle 55 eclissi di ombra, 53 saranno centrali con ambedue i limiti e 2 non-centrali con un solo limite. L'eclissi totale più lunga accadrà il 9 Giugno 2328 (Durata 5 min 15 sec). L'eclissi totale più breve avverrà il 14 Settembre 2490 (Durata 1 min 47 sec). L'eclissi anulare più lunga si verificherà il 16 Febbraio 2743 (Durata 5 min 20 sec). L'eclissi anulare più breve avverrà il 29 Ottobre 2562 (Durata 35 sec). L'eclissi ibrida più lunga accadrà il 26 Settembre 2508 (Durata 1 min 14 sec). L'eclissi ibrida più breve avrà luogo il 17 Ottobre 2544 (Durata 4 sec). L'eclissi parziale più ampia è accaduta il 21 Ottobre 1949 (Magnitudine 0,96381). L'eclissi parziale più piccola avverrà il 20 Agosto 3049 (Magnitudine 0,09064).

ECLISSI DELL'ANNO 2022

| | | |
|------------|--------------------------|--|
| 30 APRILE | ECLISSI PARZIALE DI SOLE | Invisibile in Europa. Visibile nell'Oceano Pacifico meridionale, Cile, Argentina, Uruguay e Bolivia |
| 16 MAGGIO | ECLISSI TOTALE DI LUNA | Visibile nelle Americhe, nell'Oceano Atlantico e in Antartide. In Europa e in Africa sarà visibile solo in parte I |
| 25 OTTOBRE | ECLISSI PARZIALE DI SOLE | Visibile in Europa, esclusa la Spagna meridionale, nell'Asia occidentale e centrale e nell'Africa nord-orientale |
| 8 NOVEMBRE | ECLISSI TOTALE DI LUNA | Invisibile in Europa. Visibile nell'Oceano Pacifico, in Australia, in Asia centrale e orientale e nel Nord-America |

TAVOLA COMPARATIVA E RIEPILOGATIVA DEI CALENDARI ORTODOSSO, COPTO, EBRAICO, MUSULMANO E CINESE CON IL CALENDARIO GREGORIANO

| | | | | | | | | |
|---|-----|------|-----|-----------|----|-----------------|------|--|
| 1 | GEN | 2021 | VEN | CINESE | 18 | 11° MESE LUNARE | 4717 | 18° giorno della XII° Luna - Mese 26° del Ciclo di 60 mesi (Ji-Chou) Anno 4717 (Anno del Topo + Metallo) - 37° del Ciclo di 60 Mesi (Geng-Zi) - Capodanno Gregoriano |
| 1 | GEN | 2021 | VEN | COPTO | 23 | KOIAK (04) | 1737 | Capodanno Gregoriano - MESE E ANNO ETIOPICO = TAHAS 2013 |
| 1 | GEN | 2021 | VEN | EBRAICO | 17 | TEVET (4°) | 5781 | Capodanno Gregoriano |
| 1 | GEN | 2021 | VEN | MUSULMANO | 17 | JUMADA I° (5°) | 1442 | Capodanno Gregoriano |
| 1 | GEN | 2021 | VEN | ORTODOSSO | 19 | DICEMBRE | 2020 | Capodanno Gregoriano |
| 5 | GEN | 2021 | MAR | CINESE | 22 | 11° MESE LUNARE | 4717 | 23° Stazione Solare (Xiao-Han |

| GIORNO | MESE | DOMINICANZA | RELIGIONE | NUMERO | DATA | DESCRIZIONE |
|--------|------|-------------|-----------|-----------|------|------------------------|
| 9 | MAG | 2021 | DOM | MUSULMANO | 27 | RAMADAN 1442 |
| 10 | MAG | 2021 | DOM | ORTODOSSO | 26 | APRILE 2021 |
| 11 | MAG | 2021 | LUN | EBRAICO | 28 | APRILE 2021 |
| 12 | MAG | 2021 | MAR | ORTODOSSO | 28 | APRILE 2021 |
| 12 | MAG | 2021 | MAR | ORTODOSSO | 28 | APRILE 2021 |
| 12 | MAG | 2021 | MAR | ORTODOSSO | 28 | APRILE 2021 |
| 12 | MAG | 2021 | MAR | ORTODOSSO | 28 | APRILE 2021 |
| 13 | MAG | 2021 | MAR | ORTODOSSO | 28 | APRILE 2021 |
| 16 | MAG | 2021 | DOM | ORTODOSSO | 3 | MAGGIO 2021 |
| 17 | MAG | 2021 | LUN | EBRAICO | 6 | MAGGIO 2021 |
| 21 | MAG | 2021 | VEN | CINESE | 10 | 4° MESE LUNARE 4718 |
| 23 | MAG | 2021 | DOM | ORTODOSSO | 10 | MAGGIO 2021 |
| 26 | MAG | 2021 | MAR | ORTODOSSO | 13 | MAGGIO 2021 |
| 30 | MAG | 2021 | DOM | ORTODOSSO | 17 | MAGGIO 2021 |
| 1 | GIU | 2021 | MAR | COPTO | 24 | PASHONS 1737 |
| 5 | GIU | 2021 | SAB | CINESE | 25 | 4° MESE LUNARE 4718 |
| 6 | GIU | 2021 | DOM | ORTODOSSO | 24 | MAGGIO 2021 |
| 8 | GIU | 2021 | MAR | COPTO | 1 | PAONI (10°) 1737 |
| 10 | GIU | 2021 | GIO | CINESE | 1 | 5° MESE LUNARE 4718 |
| 10 | GIU | 2021 | GIO | COPTO | 3 | PAONI 1737 |
| 10 | GIU | 2021 | GIO | ORTODOSSO | 28 | MAGGIO 2021 |
| 11 | GIU | 2021 | VEN | EBRAICO | 1 | TAMUZ (10°) 5781 |
| 11 | GIU | 2021 | VEN | MUSULMANO | 1 | DHU L QIDAH (11°) 1442 |
| 13 | GIU | 2021 | DOM | ORTODOSSO | 31 | MAGGIO 2021 |
| 14 | GIU | 2021 | LUN | CINESE | 5 | 5° MESE LUNARE 4718 |
| 19 | GIU | 2021 | SAB | ORTODOSSO | 6 | GIUGNO 2021 |
| 20 | GIU | 2021 | DOM | COPTO | 13 | PAONI 1737 |
| 20 | GIU | 2021 | DOM | ORTODOSSO | 7 | GIUGNO 2021 |
| 21 | GIU | 2021 | LUN | CINESE | 12 | 5° MESE LUNARE 4718 |
| 21 | GIU | 2021 | LUN | COPTO | 14 | PAONI 1737 |
| 21 | GIU | 2021 | LUN | ORTODOSSO | 8 | GIUGNO 2021 |
| 27 | GIU | 2021 | DOM | EBRAICO | 17 | TAMUZ 5781 |
| 27 | GIU | 2021 | DOM | ORTODOSSO | 14 | GIUGNO 2021 |
| 28 | GIU | 2021 | LUN | ORTODOSSO | 15 | GIUGNO 2021 |
| 7 | LUG | 2021 | MER | CINESE | 28 | 5° MESE LUNARE 4718 |
| 7 | LUG | 2021 | MER | ORTODOSSO | 24 | GIUGNO 2021 |
| 8 | LUG | 2021 | GIO | COPTO | 1 | EPID (11°) 1737 |
| 10 | LUG | 2021 | SAB | CINESE | 1 | 6° MESE LUNARE 4718 |
| 10 | LUG | 2021 | SAB | EBRAICO | 1 | AV (11°) 5781 |
| 11 | LUG | 2021 | DOM | MUSULMANO | 1 | DHU L HIAH (12°) 1442 |
| 12 | LUG | 2021 | LUN | COPTO | 5 | EPID 1737 |
| 12 | LUG | 2021 | LUN | ORTODOSSO | 29 | GIUGNO 2021 |
| 18 | LUG | 2021 | DOM | EBRAICO | 9 | AV 5781 |
| 19 | LUG | 2021 | LUN | MUSULMANO | 9 | DHU L HIAH 1442 |
| 20 | LUG | 2021 | MAR | MUSULMANO | 10 | DHU L HIAH 1442 |
| 22 | LUG | 2021 | GIO | CINESE | 13 | 6° MESE LUNARE 4718 |
| 24 | LUG | 2021 | SAB | EBRAICO | 15 | AV 5781 |
| 7 | AGO | 2021 | SAB | CINESE | 29 | 6° MESE LUNARE 4718 |
| 7 | AGO | 2021 | SAB | COPTO | 1 | MESORI (12°) 1737 |
| 7 | AGO | 2021 | SAB | COPTO | 1 | MESORI 1737 |
| 8 | AGO | 2021 | DOM | CINESE | 1 | 7° MESE LUNARE 4718 |
| 9 | AGO | 2021 | LUN | EBRAICO | 1 | ELUL (12°) 5781 |
| 10 | AGO | 2021 | MAR | MUSULMANO | 1 | MOHARRAM (1°) 1443 |
| 14 | AGO | 2021 | SAB | CINESE | 7 | 7° MESE LUNARE 4718 |
| 14 | AGO | 2021 | SAB | ORTODOSSO | 1 | AGOSTO 2021 |
| 19 | AGO | 2021 | GIO | COPTO | 13 | MESORI 1737 |
| 19 | AGO | 2021 | GIO | MUSULMANO | 10 | MOHARRAM 1443 |
| 19 | AGO | 2021 | GIO | ORTODOSSO | 6 | AGOSTO 2021 |
| 22 | AGO | 2021 | DOM | CINESE | 15 | 7° MESE LUNARE 4718 |
| 22 | AGO | 2021 | DOM | COPTO | 16 | MESORI 1737 |
| 23 | AGO | 2021 | LUN | CINESE | 16 | 7° MESE LUNARE 4718 |
| 28 | AGO | 2021 | SAB | EBRAICO | 20 | ELUL 5781 |
| 28 | AGO | 2021 | SAB | ORTODOSSO | 15 | AGOSTO 2021 |
| 6 | SET | 2021 | LUN | COPTO | 1 | PAGUMIEN 1737 |
| 7 | SET | 2021 | MAR | CINESE | 1 | 8° MESE LUNARE 4718 |
| 7 | SET | 2021 | MAR | CINESE | 1 | 8° MESE LUNARE 4718 |
| 7 | SET | 2021 | MAR | COPTO | 2 | PAGUMIEN 1737 |
| 7 | SET | 2021 | MAR | EBRAICO | 1 | TISHREI (1°) 5782 |
| 8 | SET | 2021 | MAR | COPTO | 3 | PAGUMIEN 1737 |
| 9 | SET | 2021 | GIO | COPTO | 4 | PAGUMIEN 1737 |
| 9 | SET | 2021 | GIO | EBRAICO | 3 | TISHREI 5782 |
| 9 | SET | 2021 | GIO | MUSULMANO | 1 | SAFAR (2°) 1443 |
| 10 | SET | 2021 | VEN | COPTO | 5 | PAGUMIEN 1737 |
| 11 | SET | 2021 | SAB | COPTO | 1 | THOUT (01°) 1738 |
| 11 | SET | 2021 | SAB | ORTODOSSO | 29 | AGOSTO 2021 |
| 14 | SET | 2021 | MAR | ORTODOSSO | 1 | SETTEMBRE 2021 |
| 16 | SET | 2021 | GIO | EBRAICO | 10 | TISHREI 5782 |
| 21 | SET | 2021 | MAR | CINESE | 15 | 8° MESE LUNARE 4718 |
| 21 | SET | 2021 | MAR | EBRAICO | 15 | TISHREI 5782 |
| 21 | SET | 2021 | MAR | ORTODOSSO | 8 | SETTEMBRE 2021 |
| 23 | SET | 2021 | GIO | CINESE | 17 | 8° MESE LUNARE 4718 |
| 27 | SET | 2021 | LUN | COPTO | 17 | THOUT 1738 |
| 27 | SET | 2021 | LUN | EBRAICO | 21 | TISHREI 5782 |
| 27 | SET | 2021 | LUN | ORTODOSSO | 14 | SETTEMBRE 2021 |
| 28 | SET | 2021 | MAR | EBRAICO | 22 | TISHREI 5782 |
| 29 | SET | 2021 | MAR | EBRAICO | 23 | TISHREI 5782 |
| 6 | OTT | 2021 | MER | CINESE | 1 | 9° MESE LUNARE 4718 |
| 7 | OTT | 2021 | GIO | EBRAICO | 1 | CHESHVAN (2°) 5782 |
| 8 | OTT | 2021 | VEN | CINESE | 3 | 9° MESE LUNARE 4718 |
| 8 | OTT | 2021 | VEN | MUSULMANO | 1 | RABIE I° (3°) 1443 |
| 11 | OTT | 2021 | LUN | COPTO | 1 | PAOPI (02°) 1738 |
| 14 | OTT | 2021 | MAR | CINESE | 9° | 9° MESE LUNARE 4718 |
| 14 | OTT | 2021 | MAR | ORTODOSSO | 1 | OTTOBRE 2021 |
| 19 | OTT | 2021 | MAR | MUSULMANO | 12 | RABIE I° 1443 |
| 23 | OTT | 2021 | SAB | CINESE | 18 | 9° MESE LUNARE 4718 |
| 4 | NOV | 2021 | GIO | EBRAICO | 29 | CHESHVAN 5782 |
| 5 | NOV | 2021 | VEN | CINESE | 1 | 10° MESE LUNARE 4718 |
| 5 | NOV | 2021 | VEN | EBRAICO | 1 | KISLEV (3°) 5782 |
| 7 | NOV | 2021 | DOM | CINESE | 3 | 10° MESE LUNARE 4718 |
| 7 | NOV | 2021 | DOM | MUSULMANO | 1 | RABIE II° (4°) 1443 |
| 10 | NOV | 2021 | MAR | COPTO | 1 | HATHOR (03°) 1738 |
| 22 | NOV | 2021 | LUN | CINESE | 18 | 10° MESE LUNARE 4718 |
| 25 | NOV | 2021 | GIO | COPTO | 16 | HATHOR 1738 |
| 26 | NOV | 2021 | VEN | EBRAICO | 24 | KISLEV 5782 |
| 28 | NOV | 2021 | DOM | ORTODOSSO | 15 | NOVEMBRE 2021 |
| 4 | DIC | 2021 | SAB | CINESE | 1 | 11° MESE LUNARE 4718 |
| 4 | DIC | 2021 | SAB | ORTODOSSO | 21 | NOVEMBRE 2021 |
| 5 | DIC | 2021 | DOM | EBRAICO | 1 | TEVET (4°) 5782 |
| 6 | DIC | 2021 | LUN | MUSULMANO | 1 | JUMADA I° (5°) 1443 |
| 7 | DIC | 2021 | MAR | CINESE | 4 | 11° MESE LUNARE 4718 |
| 10 | DIC | 2021 | VEN | COPTO | 1 | KOIAK (04°) 1738 |
| 14 | DIC | 2021 | MAR | EBRAICO | 10 | TEVET 5782 |
| 21 | DIC | 2021 | MAR | CINESE | 18 | 11° MESE LUNARE 4718 |
| 31 | DIC | 2021 | VEN | CINESE | 28 | 11° MESE LUNARE 4718 |
| 31 | DIC | 2021 | VEN | COPTO | 27 | KOIAK 1738 |
| 31 | DIC | 2021 | VEN | EBRAICO | 22 | TEVET 5782 |
| 31 | DIC | 2021 | VEN | MUSULMANO | 26 | JUMADA I° 1443 |
| 31 | DIC | 2021 | VEN | ORTODOSSO | 18 | DICEMBRE 2021 |

COMETE CHE PASSERANNO AL PERIELLO NELL'ANNO 2021

T = data del perielio - q = distanza del perielio - P = periodo - N = numero dei ritorni osservati in precedenza - M = magnitudine massima

| COMETA | T | q | P | N | H1 | K1 | MAGNIT. |
|------------------------------------|------|------|-------|---|------|------|---------|
| 98P/Takamizawa | 4,9 | 1,66 | 7,40 | 5 | 12,1 | 10,0 | 16 |
| A/PanSTARRS (2019 T1) | 14,1 | 4,28 | | | 13,6 | 5,0 | 20 |
| P/PanSTARRS (2020 S1) | 17,0 | 2,95 | 14,6 | 0 | 14,0 | 10,0 | 21 |
| 320P/McNaught | 17,1 | 0,97 | 5,44 | 2 | 20,5 | 10,0 | 22 |
| 323P/SOHO | 17,7 | 0,04 | 4,15 | 5 | | | |
| PANSTARRS (2019 B3) | 20,0 | 6,82 | | | 5,5 | 10,0 | 18 |
| 102P/Shoemaker | 22,4 | 2,07 | 7,45 | 5 | 8,0 | 15,0 | 15 |
| 297P/Beshore | 22,9 | 2,34 | 6,39 | 2 | 6,9 | 10,0 | 12 |
| P/Christensen (2007 B1) | 25,7 | 2,44 | 14,04 | 1 | 13,5 | 10,0 | 18 |
| P/LONEOS-Hill (2005 XA54) | 29,3 | 1,75 | 14,89 | 1 | 14,0 | 10,0 | 16 |
| P/PanSTARRS (2020 O3) | 29,8 | 4,17 | 10,1 | 0 | 12,5 | 10,0 | 21 |
| P/McNaught (2009 U4) | 1,1 | 1,65 | 11,45 | 1 | 14,0 | 10,0 | 18 |
| P/SOHO (2010 H3) | 8,0 | 0,04 | 5,36 | 1 | | | |
| 265P/LINEAR | 9,0 | 1,50 | 8,77 | 2 | 14,5 | 10,0 | 18 |
| P/PanSTARRS (2020 R1) | 10,1 | 2,10 | 6,71 | 0 | 15,5 | 7,0 | 19 |
| P/PanSTARRS (2014 U4) | 13,5 | 1,88 | 6,57 | 1 | 18,0 | 10,0 | 23 |
| P/Tenagra (2013 EW ₉₀) | 15,6 | 3,31 | 8,35 | 1 | 12,0 | 10,0 | 19 |
| P/Lemmon-PanSTARRS (2020 K9) | 15,6 | 2,83 | 8,56 | 0 | 12,0 | 10,0 | 19 |
| P/Scott (2013 A2) | 15,7 | 2,19 | 8,04 | 1 | 15,5 | 10,0 | 19 |

| COMETA | T | q | P | N | H1 | K1 | MAGNIT. |
|----------------------------|------|------|------|----|------|------|---------|
| P/SOHO (1999 J6) | 16,8 | 0,04 | 5,34 | 3 | | | |
| 17P/Holmes | 19,8 | 2,08 | 6,93 | 12 | 10,0 | 10,0 | 15? |
| 246P/NEAT | 22,8 | 2,86 | 8,05 | 2 | 2,5 | 15,0 | 11 |
| ATLAS (2020 R4) | 1,9 | 1,03 | | | 14,0 | 8,0 | 13 |
| ATLAS (2019 T3) | 2,7 | 5,95 | | | 5,0 | 12,0 | 18 |
| 206P/Barnard-Boattini | 4,5 | 1,56 | 6,51 | 3 | 19,0 | 10,0 | 23 |
| 75D/Kohoutek | 4,9 | 1,78 | 6,65 | 2 | | | |
| A/PanSTARRS (2019 O3) | 7,1 | 8,82 | | | 9,9 | 10,0 | 24 |
| 28P/Neujmin | 11,9 | 1,58 | 18,4 | 7 | 8,5 | 15,0 | 13 |
| PanSTARRS (2020 N1) | 12,2 | 1,32 | | | 13,0 | 8,0 | 15 |
| 191P/McNaught | 20,1 | 2,23 | 6,93 | 3 | 13,0 | 10,0 | 19 |
| P/PanSTARRS (2016 G1) | 22,2 | 2,04 | 4,15 | 1 | 14,0 | 10,0 | 18 |
| MASTER (2020 F5) | 24,0 | 4,33 | | | 5,0 | 12,0 | 15 |
| 10P/Tempel | 24,3 | 1,41 | 5,36 | 24 | 6,8 | 16,6 | 11 |
| P/SOHO (1999 U2) | 17,6 | 0,04 | 5,35 | 3 | | | |
| SONEAR (2020 J1) | 17,7 | 3,36 | | | 8,5 | 8,0 | 15 |
| 16P/Brooks | 18,2 | 1,88 | 6,99 | 18 | 11,9 | 8,2 | 16 |
| P/NEOWISE (2015 J3) | 22,2 | 1,49 | 6,13 | 1 | 16,5 | 10,0 | 17 |
| A/Lemmon (2019 T2) | 22,3 | 2,65 | | | 13,2 | 5,0 | 17 |
| ATLAS (2020 P3) | 23,4 | 6,81 | | | 8,0 | 8,0 | 19 |
| A/ (2017 MB ₁) | 2,8 | 0,59 | 3,66 | 1 | | | |
| 324P/La Sagra | 6,0 | 2,62 | 5,45 | 2 | 13,0 | 10,0 | 19 |
| 120P/Mueller | 7,1 | 2,48 | 7,88 | 4 | 12,0 | 10,0 | 18 |